

Complements of Theoretical Physics

Lecture 14

Victor E. Ambrus

West University of Timișoara

Table of contents

Chapter VI. Electrodynamică relativistă

- ▶ VI.1. Mișcarea sarcinilor în câmp electromagnetic extern.
- ▶ VI.2. Propagarea radiației electomagneticice.
- ▶ VI.3. Radiația emisă de distribuții localizate de sarcini.
- ▶ **VI.4. Radiația emisă de sarcinile accelerate.**

VI.4. Radiația emisă de sarcinile accelerate.

VI.4.1. Potențialele Liénard-Wiechert.

- ▶ Să considerăm o sarcină q având traекторia $\mathbf{r}(t)$.
- ▶ La momentul t , curentul de sarcină are expresia:

$$j^\alpha(\mathbf{x}, t) = qc\beta^\alpha(t)\delta^3[\mathbf{x} - \mathbf{r}(t)], \quad \beta^\alpha \equiv (1, \mathbf{v}/c). \quad (1)$$

- ▶ Potențialul $A^\mu = (\phi/c, \mathbf{A})$ devine:

$$\begin{aligned} A^\mu &= \frac{\mu_0}{4\pi} \int dt' \int d^3x' \frac{j^\alpha(\mathbf{x}', t')}{|\mathbf{x} - \mathbf{x}'|} \delta\left(t' - t + \frac{1}{c}|\mathbf{x} - \mathbf{x}'|\right) \\ &= \frac{\mu_0 qc}{4\pi} \int dt' \frac{\beta^\alpha[\mathbf{r}(t'), t']}{|\mathbf{x} - \mathbf{r}(t')|} \delta\left(t' - t + \frac{1}{c}|\mathbf{x} - \mathbf{r}(t')|\right). \end{aligned} \quad (2)$$

- ▶ Pentru efectuarea integralei după t' , este utilă relația:

$$\int d\xi \delta[u(\xi)]f(\xi) = \sum_k \frac{f(\xi_k)}{u'(\xi_k)},$$

unde ξ_k reprezintă soluțiile ecuației $u(\xi_k) = 0$.

- ▶ În cazul de față, $u = t' - t + \frac{1}{c}|\mathbf{x} - \mathbf{r}(t')|$ iar $\xi = t'$.

- ▶ Potentialul $A^\mu = (\phi/c, \mathbf{A})$ al unei sarcini relativiste în mișcare are componentele:

$$\begin{aligned}\phi(\mathbf{x}, t) &= \frac{q}{4\pi\varepsilon_0} \left[\frac{1}{(1 - \beta \cdot \mathbf{n})R} \right]_{\text{ret}}, \\ \mathbf{A}(\mathbf{x}, t) &= \frac{\mu_0 q c}{4\pi} \left[\frac{\beta}{(1 - \beta \cdot \mathbf{n})R} \right]_{\text{ret}},\end{aligned}\quad (3)$$

unde $R = |\mathbf{x} - \mathbf{r}(\tau)|$, \mathbf{n} reprezintă versorul de-a lungul direcției $\mathbf{x} - \mathbf{r}(\tau)$, iar paranteza se evaluează la $x^{\alpha'} = [t', \mathbf{r}(t')]$, unde timpul retardat t' satisfacă:

$$t - t' = \frac{1}{c} |\mathbf{x} - \mathbf{r}(t')|. \quad (4)$$

- ▶ Câmpurile electric **E** și magnetic **B** pot fi determinate folosind:

$$\mathbf{E} = -\nabla\phi - \partial_t \mathbf{A}, \quad \mathbf{B} = \frac{1}{c} \mathbf{n} \times \mathbf{E}. \quad (5)$$

VI.4.2. Câmpurile de viteză și de accelerație

- Utilizând relațiile:

$$\begin{aligned} dt' &= \frac{dt - \frac{\mathbf{n}}{c} \cdot d\mathbf{x}}{1 - \beta \cdot \mathbf{n}}, \quad d\beta = \dot{\beta} \frac{dt - \frac{\mathbf{n}}{c} \cdot d\mathbf{x}}{1 - \beta \cdot \mathbf{n}}, \\ dR &= \frac{\mathbf{n} \cdot d\mathbf{x} - (\mathbf{n} \cdot \beta) c dt}{1 - \beta \cdot \mathbf{n}}, \\ d\mathbf{n} &= \frac{d\mathbf{x}}{R} - \frac{\beta(c dt - \mathbf{n} \cdot d\mathbf{x})}{R(1 - \beta \cdot \mathbf{n})} - \frac{\mathbf{n}(\mathbf{n} \cdot d\mathbf{x} - \mathbf{n} \cdot \beta c dt)}{R(1 - \beta \cdot \mathbf{n})}, \end{aligned} \quad (6)$$

se poate obține câmpul electric \mathbf{E} al sarcinii în mișcare:

$$\begin{aligned} \mathbf{E}(\mathbf{x}, t) &= \frac{q}{4\pi\epsilon_0} \left[\frac{\mathbf{n} - \beta}{\gamma^2(1 - \beta \cdot \mathbf{n})^3 R^2} \right]_{\text{ret}} \\ &\quad + \frac{q}{4\pi\epsilon_0 c} \left[\frac{\mathbf{n} \times \{(\mathbf{n} - \beta) \times \dot{\beta}\}}{(1 - \beta \cdot \mathbf{n})^3 R} \right]_{\text{ret}}, \end{aligned} \quad (7)$$

în timp ce $\mathbf{B} = \frac{1}{c} \mathbf{n}_{\text{ret}} \times \mathbf{E}$.

- **Câmpul de viteză** nu depinde de accelerație și are comportament de câmp static (merge către 0 precum R^{-2}).
- **Câmpul de accelerație** este direct proporțional cu $\dot{\beta}$ și are comportament de câmp de radiație (merge către 0 precum R^{-1}).

VI.4.3. Puterea radiată

- ▶ Studiul radiației emise se face pornind de la proiecția vectorului Poynting pe direcția radială \mathbf{n} :

$$\mathbf{S} \cdot \mathbf{n}_{\text{ret}} = \frac{q^2}{16\pi^2\varepsilon_0 c} \left\{ \frac{1}{R^2} \left| \frac{\mathbf{n} \times [(\mathbf{n} - \boldsymbol{\beta}) \times \dot{\boldsymbol{\beta}}]}{(1 - \boldsymbol{\beta} \cdot \mathbf{n})^3} \right|^2 \right\}_{\text{ret}} + O(R^{-3}). \quad (8)$$

- ▶ În cazul nerelativist, avem:

$$\lim_{\boldsymbol{\beta} \rightarrow 0} \mathbf{S} \cdot \mathbf{n}_{\text{ret}} = \frac{q^2 \dot{\beta}^2 \sin^2 \Theta}{16\pi^2 \varepsilon_0 c R^2} + O(R^{-3}), \quad (9)$$

unde Θ reprezintă unghiul dintre \mathbf{n} și $\dot{\boldsymbol{\beta}}$.

- ▶ În cazul relativist, puterea radiată la timpul retardat t' (4) este:

$$\begin{aligned} \frac{dP(t')}{d\Omega} &= R^2 (\mathbf{S} \cdot \mathbf{n}) \frac{dt}{dt'} = R^2 \mathbf{S} \cdot \mathbf{n} (1 - \boldsymbol{\beta} \cdot \mathbf{n}) \\ &= \frac{q^2}{16\pi^2 \varepsilon_0 c} \frac{|\mathbf{n} \times [(\mathbf{n} - \boldsymbol{\beta}) \times \dot{\boldsymbol{\beta}}]|^2}{(1 - \mathbf{n} \cdot \boldsymbol{\beta})^5} + O(R^{-1}), \end{aligned} \quad (10)$$

unde $dP(t')/d\Omega$ reprezintă energia radiată pe unghi solid, per unitate de timp retardat (timp al particulei pe propria traiectorie).

VI.4.4. Radiația Larmor.

- Dacă viteza sarcinii e nerelativistă, la distanțe mari de sarcină \mathbf{E} se reduce la:

$$\mathbf{E}_a \simeq \frac{q}{4\pi\epsilon_0 c} \left[\frac{\mathbf{n} \times (\mathbf{n} \times \dot{\beta})}{R} \right]_{\text{ret}}. \quad (11)$$

- Vectorul Poynting $\mathbf{S} = \mathbf{E} \times \mathbf{H} = \frac{1}{\mu_0 c} \mathbf{E}_a^2 \mathbf{n}$ se poate folosi pentru scrierea puterii radiate:

$$\frac{dP}{d\Omega} = R^2(\mathbf{S} \cdot \mathbf{n}) = \frac{e^2}{16\pi^2\epsilon_0 c} |\mathbf{n} \times (\mathbf{n} \times \dot{\beta})|^2 = \frac{q^2 |\dot{\mathbf{v}}|^2 \sin^2 \Theta}{16\pi^2\epsilon_0 c^3}, \quad (12)$$

unde Θ reprezintă unghiul dintre viteza particulei $\dot{\beta}$ și \mathbf{n} .

- Puterea totală radiată se poate calcula integrând după $d\Omega$:

$$P_{\text{Larmor}} = \frac{q^2}{6\pi\epsilon_0 c^3} |\dot{\mathbf{v}}|^2. \quad (13)$$

- Formula (13) se poate generaliza la cazul relativist:

$$P_{\text{Larmor, rel}} = -\frac{q^2}{6\pi\epsilon_0 m^2 c^3} \left(\frac{dp^\mu}{d\tau} \frac{dp_\mu}{d\tau} \right) = \frac{q^2}{6\pi\epsilon_0 c} \gamma^6 [\dot{\beta}^2 - (\beta \times \dot{\beta})^2]. \quad (14)$$

VI.4.5. Radiația particulei accelerată liniar.

- ▶ Pentru sarcina accelerată pe direcția de deplasare, $\beta \times \dot{\beta} = 0$ și ec. (10) devine:

$$\frac{dP(t')}{d\Omega} = \frac{q^2 \dot{v}^2}{16\pi^2 \epsilon_0 c^3} \frac{\sin^2 \Theta}{(1 - \beta \cos \Theta)^5}. \quad (15)$$

- ▶ Expresia de mai sus se reduce la P_{Larmor} (13) când $\beta \rightarrow 0$.
- ▶ Unghiul sub care puterea radiată este maximă este:

$$\theta_{\max} = \arccos \left[\frac{1}{3\beta} (\sqrt{1 + 15\beta^2} - 1) \right] \rightarrow \frac{1}{2\gamma}. \quad (16)$$

- ▶ În cazul ultrarelativist, emisia de radiație se face preponderent pe direcția înainte.
- ▶ Chiar și pentru $\beta = 0.5$ ($E \sim 80 \text{ keV}$), $\theta_{\max} \simeq 38,2^\circ$.

- ▶ Puterea totală se poate găsi integrând ec. (15) sau din ec. (14):

$$P_{\text{Larmor,lin}} = \frac{q^2 \dot{\beta}^2 \gamma^6}{6\pi\varepsilon_0 c} = \frac{q^2}{6\pi\varepsilon_0 m^2 c^3} \left(\frac{dp}{dt} \right)^2, \quad (17)$$

unde s-a ținut cont că $dp/dt = mc\gamma^3 \dot{\beta}$.

- ▶ E convenabilă exprimarea puterii radiate în funcție de puterea necesară accelerării particulei:

$$\frac{P}{dE/dt} = \frac{q^2}{6\pi\varepsilon_0 m^2 c^4 \beta} \frac{dE}{dx}. \quad (18)$$

- ▶ Pentru electron, $mc^2 = 0,511 \text{ MeV}$ iar $q^2/4\pi\varepsilon_0 mc^2 = 2,82 \times 10^{-15} \text{ m}$.
- ▶ P devine semnificativ când $dE/dx \sim 2 \times 10^{14} \text{ MeV/m}$.
- ▶ Deoarece P nu depinde de γ , accelerarea liniară este foarte eficientă.

VI.4.6. Radiația de sincrotron.

- ▶ O particula relativistă se deplasează într-un câmp magnetic $\mathbf{B} = B\mathbf{k}$, cu $B > 0$ constant.
- ▶ Legea a doua a lui Newton pentru particula relativistă este:

$$\frac{d\mathbf{p}}{dt} = q\mathbf{E} + q\mathbf{v} \times \mathbf{B}, \quad (19)$$

unde $\mathbf{p} = m\gamma\mathbf{v}$ iar $\mathbf{E} = 0$ în cazul de față.

- ▶ Înmulțind ec. (19) scalar cu \mathbf{v} rezultă:

$$\mathbf{v} \cdot \frac{d(m\gamma\mathbf{v})}{dt} = 0 \Rightarrow \dot{\beta} = \dot{\gamma} = 0.$$

- ▶ Soluția este

$$v_x = -v_{\perp} \sin \omega_s t, \quad v_y = \mp v_{\perp} \cos \omega_s t, \quad \omega_s = \frac{|q|B}{m\gamma}. \quad (20)$$

unde ω_s este viteza unghiulară de sincrotron, iar semnul lui v_y este $- (+)$ când $q > 0$ ($q < 0$).

- ▶ Radiația de sincrotron se referă la radiația emisă de o sarcină în mișcare relativistă pe orbită circulară.
- ▶ Deoarece în mișcarea circulară $d\gamma/d\tau = 0$, ec. (10) devine:

$$\frac{dP(t')}{d\Omega} = \frac{q^2}{16\pi^2\varepsilon_0 c} \frac{|\dot{\beta}|^2}{(1 - \beta \cos \theta)^3} \left[1 - \frac{\sin^2 \theta \cos^2 \phi}{\gamma^2(1 - \beta \cos \theta)^2} \right], \quad (21)$$

unde sistemul de coordonate a fost ales cu axa z de-a lungul lui β , respectiv cu axa x de-a lungul lui $\dot{\beta}$, în timp ce θ și ϕ reprezintă coordonatele sferice ale direcției de observare \mathbf{n} .

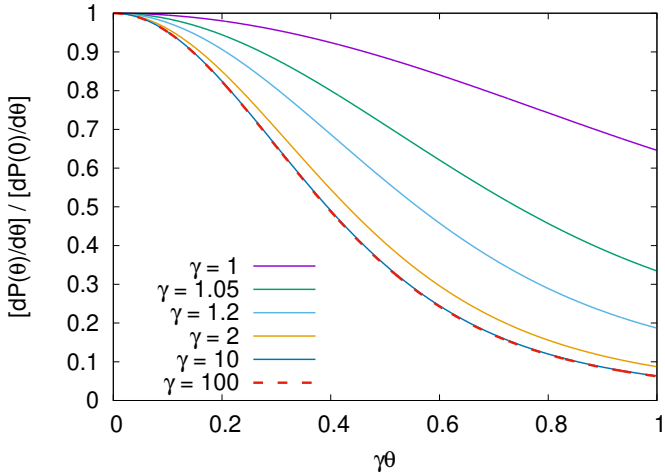
- ▶ Factorii $(1 - \beta \cos \theta)$ de la numitor produc aceeași îngustare a conului în care se emite radiația ca și în cazul accelerării liniare.
- ▶ Puterea radiată se obține integrând ec. (21), sau direct din formula Larmor (14):

$$P_{\text{Larmor,sinc}} = \frac{q^2}{6\pi\varepsilon_0 c} |\dot{\beta}|^2 \gamma^4 = \frac{q^2}{6\pi\varepsilon_0 m^2 c^3} \gamma^2 \left(\frac{d\mathbf{p}}{dt} \right)^2. \quad (22)$$

- ▶ Energia totală pierdută pe parcursul unei perioade este:

$$\delta E = \frac{2\pi}{\omega_s} P = \frac{q^2}{3\varepsilon_0 R} \beta^3 \gamma^4. \quad (23)$$

- ▶ În cazul electronilor ultrarelativiști, $\delta E \simeq 8,85 \times 10^{-2} \frac{[E(\text{GeV})]^4}{R(\text{m})}$.



Distributia unghiulară a puterii emise prin radiație de sincrotron, integrată după unghiul ϕ , este:

$$\frac{dP(\theta)}{d(\cos \theta)} = \int_0^{2\pi} d\varphi \frac{dP(t')}{d\Omega} = \frac{dP(0)}{d(\cos \theta)} \left(\frac{1 - \beta}{1 - \beta \cos \theta} \right)^3 \left[1 - \frac{\sin^2 \theta}{2\gamma^2(1 - \beta \cos \theta)^2} \right].$$

VI.6.7. Spectrul Radiatiei de sincrotron.

- ▶ Pentru studiul spectrului radiatiei emise de o particula accelerata, pornim de la energia totala care ajunge la detector:

$$\frac{dW}{d\Omega} = \int_{-\infty}^{\infty} \frac{dP(t)}{d\Omega} dt, \quad (24)$$

unde $dP(t)/d\Omega$ este puterea radiata in elementul de unghi solid Ω centrat pe directia \mathbf{n} dinspre particula $\mathbf{r}(t')$ spre detector \mathbf{x} .

- ▶ Avand in vedere ca

$$\frac{dP(t)}{d\Omega} = \varepsilon_0 c R_d^2 |\mathbf{E}(t)|^2, \quad (25)$$

unde R_d este distanta de la originea sistemului de coordonate la detector, se poate introduce transformata Fourier a intensitatii electrice:

$$\mathbf{E}(t) = \int_{-\infty}^{\infty} d\omega e^{-i\omega t} \mathbf{E}_{\omega}, \quad \mathbf{E}_{\omega} = \frac{1}{2\pi} \int_{-\infty}^{\infty} dt e^{i\omega t} \mathbf{E}(t), \quad (26)$$

cu $\mathbf{E}_{\omega}^* = \mathbf{E}_{-\omega}$ fiindca $\mathbf{E}(t)$ este real, astfel incat:

$$\frac{dW}{d\Omega} = 2\pi \varepsilon_0 c R_d^2 \int_{-\infty}^{\infty} d\omega |\mathbf{E}_{\omega}|^2 = 4\pi \varepsilon_0 c R_d^2 \int_0^{\infty} d\omega |\mathbf{E}_{\omega}|^2 \quad (27)$$

VI.4.8. Intensitatea radiației

- Fie $I \equiv I_\omega(\theta, \varphi)$ dată prin

$$\frac{dW}{d\Omega} = \int_0^\infty \frac{d^2I}{d\omega d\Omega} d\omega, \quad \frac{d^2I}{d\omega d\Omega} = 4\pi\varepsilon_0 c R_d^2 |\mathbf{E}_\omega|^2. \quad (28)$$

- Pentru sarcina accelerată, $\mathbf{E}(t)$ se poate aproxima cu câmpul de accelerare din ec. (7), astfel încât:

$$\mathbf{E}_\omega = \frac{q}{8\pi^2\varepsilon_0 c} \int_{-\infty}^{\infty} dt e^{i\omega t} \left[\frac{\mathbf{n} \times \{(\mathbf{n} - \boldsymbol{\beta}) \times \dot{\boldsymbol{\beta}}\}}{(1 - \boldsymbol{\beta} \cdot \mathbf{n})^3 R_d} \right]_{\text{ret}}. \quad (29)$$

- Schimbând variabila de integrare de la t la timpul retardat t' (4), rezultă:

$$R_d \mathbf{E}_\omega = \frac{qe^{i\omega R_d/c}}{8\pi^2\varepsilon_0 c} \int_{-\infty}^{\infty} dt e^{i(\omega t - \mathbf{k}_d \cdot \mathbf{r}(t))} \frac{\mathbf{n} \times \{(\mathbf{n} - \boldsymbol{\beta}) \times \dot{\boldsymbol{\beta}}\}}{(1 - \boldsymbol{\beta} \cdot \mathbf{n})^2}, \quad (30)$$

unde $\mathbf{k}_d = \omega \mathbf{n}_d / c$ și s-a folosit aproximarea

$t = t' + \frac{1}{c} |\mathbf{x} - \mathbf{r}(t')| \simeq t' + \frac{R_d}{c} - \frac{1}{c} \mathbf{n}_d \cdot \mathbf{r}(t') + \dots$, unde $\mathbf{n}_d = \mathbf{x}_d / R_d$ reprezintă direcția pe care se află detectorul.

- Tinând cont că:

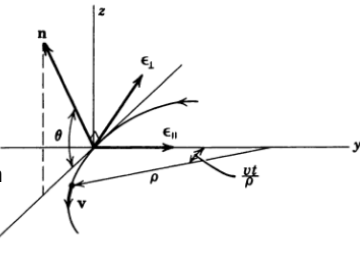
$$\frac{d}{dt} \left[\frac{\mathbf{n} \times (\mathbf{n} \times \boldsymbol{\beta})}{1 - \boldsymbol{\beta} \cdot \mathbf{n}} \right] = \frac{\mathbf{n} \times \{(\mathbf{n} - \boldsymbol{\beta}) \times \dot{\boldsymbol{\beta}}\}}{(1 - \boldsymbol{\beta} \cdot \mathbf{n})^2}, \quad (31)$$

se poate efectua integrarea prin părți în ec. (30):

$$R_d \mathbf{E}_\omega = \frac{-i\omega q e^{i\omega R_d/c}}{8\pi^2 \varepsilon_0 c} \int_{-\infty}^{\infty} dt e^{i\omega[t - \mathbf{n} \cdot \mathbf{r}(t)/c]} \mathbf{n} \times (\mathbf{n} \times \boldsymbol{\beta}). \quad (32)$$

- Pentru evaluarea spectrului radiației de sincrotron, trebuie făcute următoarele precizări.
- Deși sarcina descrie o mișcare circulară cu ω_s , spectrul radiației emise este mult mai bogat, conținând multe dintre armonice superioare.
- Pentru $\gamma \gtrsim 10$, radiația este emisă preponderent într-un con cu unghiul la vârf $\Delta\Theta \simeq 2\gamma^{-1}$, într-o fereastră temporală $\Delta\Theta/\omega_s \simeq 2/\gamma\omega_s$.
- Fereastra temporală de recepție a radiației este îngustată deoarece radiația emisă la intrarea sursei în con parurge o distanță mai lungă decât cea emisă la ieșire, astfel că durata efectivă de timp în care este receptat pulsul este $\Delta\tau \simeq \frac{2}{\gamma\omega_s} (\beta^{-1} - 1) \simeq 1/\gamma^3\omega_s$.

- ▶ Pentru studiul spectrului radiației de sincrotron receptate, este deci suficientă analiza radiației emise de sarcină pe o scurtă perioadă în jurul punctului unde sursa se află în conul de emisie al acesteia.



- ▶ Introducem sistemul de coordonate din figură, astfel încât traекторia particulei și vectorul de poziție al detectorului $\mathbf{x}_d = \mathbf{n}_d R_d$ sunt:

$$\mathbf{r}(t) = \frac{\beta c}{\omega_s} [\mathbf{i} \sin \omega_s t + \mathbf{j} (1 - \cos \omega_s t)], \quad \mathbf{n}_d = \mathbf{i} \cos \theta + \mathbf{k} \sin \theta. \quad (33)$$

- ▶ Considerând că detectorul este aproape coplanar cu traectoria particulei ($\theta \ll 1$) și că $\omega_s t \ll 1$, rezultă:

$$t - \frac{1}{c} \mathbf{n}_d \cdot \mathbf{r}(t) \simeq \frac{t}{2} \left(\gamma^{-2} + \theta^2 + \frac{1}{3} \omega_s^2 t^2 \right) + \dots, \quad (34)$$

unde s-a considerat cazul ultrarelativist $\beta \simeq 1$.

► Tinând cont că:

$$\mathbf{n} \times (\mathbf{n} \times \boldsymbol{\beta}) = \beta(-\mathbf{e}_{||} \sin \omega_s t + \mathbf{e}_{\perp} \sin \theta \cos \omega_s t), \quad (35)$$

unde $\mathbf{e}_{||} = \mathbf{j}$ și $\mathbf{e}_{\perp} = \mathbf{n} \times \mathbf{j}$, \mathbf{E}_ω poate fi descompus după cum urmează:

$$\mathbf{E}_\omega = \mathbf{e}_{||} E_{\omega,||} + \mathbf{e}_{\perp} E_{\omega,\perp}, \quad (36)$$

unde

$$\begin{pmatrix} E_{\omega,||} R_d \\ E_{\omega,\perp} R_d \end{pmatrix} = \frac{-i\omega q e^{i\omega R_d/c}}{8\pi^2 \epsilon_0 c} \frac{\omega}{\omega_s} \sqrt{1 + \gamma^2 \theta^2} \int_{-\infty}^{\infty} dx e^{\frac{3i\xi}{2}x(1+x^2/3)} \times \left(x \gamma^{-1} \sqrt{\frac{1 + \gamma^2 \theta^2}{\theta}} \right), \quad (37)$$

► Mai sus s-au introdus notațiile:

$$x = \frac{\gamma \omega_s t}{\sqrt{1 + \gamma^2 \theta^2}}, \quad \xi = \frac{\omega}{3\omega_s} \left(\frac{1}{\gamma^2} + \theta^2 \right)^{3/2}. \quad (38)$$

- ▶ Folosind formulele:

$$\begin{aligned} \int_0^\infty dx x \sin \left[\frac{3}{2}\xi \left(x + \frac{1}{3}x^3 \right) \right] &= \frac{1}{\sqrt{3}} K_{2/3}(\xi), \\ \int_0^\infty dx \cos \left[\frac{3}{2}\xi \left(x + \frac{1}{3}x^3 \right) \right] &= \frac{1}{\sqrt{3}} K_{1/3}(\xi), \end{aligned} \quad (39)$$

unde $K_\nu(z)$ este funcția Bessel modificată de speță a doua (a treia), rezultă:

$$\begin{aligned} \frac{d^2 I}{d\omega d\Omega} &= 4\pi\varepsilon_0 c \left(|\mathbf{E}_{\omega,||} R_d|^2 + |\mathbf{E}_{\omega,\perp} R_d|^2 \right) \\ &= \frac{q^2}{12\pi^3\varepsilon_0 c} \frac{\omega^2}{\gamma^4\omega_s^2} (1 + \gamma^2\theta^2)^2 \left[K_{2/3}^2(\xi) + \frac{\gamma^2\theta^2}{1 + \gamma^2\theta^2} K_{1/3}^2(\xi) \right]. \end{aligned} \quad (40)$$

- ▶ La valori mici ale lui ξ , funcțiile Bessel modificate au următorul comportament:

$$K_\nu(z) \simeq \frac{1}{2} \Gamma(\nu) \left(\frac{z}{2} \right)^{-\nu}, \quad (41)$$

în timp ce la valori mari ale lui ξ avem:

$$K_\nu(z) = \sqrt{\frac{\pi}{2z}} e^{-z} [1 + O(z^{-2})]. \quad (42)$$

- Datorită comportamentului asimptotic (42), la ξ mare $d^2I/d\omega d\Omega$ scade exponențial când $\omega \simeq \omega_m$, unde viteza unghiulară critică ω_m este dată de condiția $2\xi = 1$ pentru $\theta = 0$:

$$\omega_m = \frac{3}{2}\omega_s \gamma^3. \quad (43)$$

- La ξ mare și $\theta = 0$, ec. (40) devine:

$$\frac{d^2I}{d\omega d\Omega} \simeq \frac{3r_e mc}{4\pi} \frac{\gamma^2 \omega}{\omega_m} e^{-\omega/\omega_m} \simeq 1,8 \times 10^{-37} \frac{\gamma^2 \omega}{\omega_m} e^{-\omega/\omega_m} [\text{J} \cdot \text{s}], \quad (44)$$

unde $r_e = e^2/4\pi\varepsilon_0 m_e c^2 \simeq 2,82 \times 10^{-15}$ m este raza clasică a electronului.

- Pentru $\xi \ll 1$ avem:

$$\frac{d^2I}{d\omega d\Omega} \simeq mcr_e \left(\frac{\Gamma(2/3)}{\pi} \right)^2 \left(\frac{3\omega}{4\omega_s} \right)^{2/3} \simeq 1,3 \times 10^{-37} \left(\frac{\omega}{\omega_s} \right)^{2/3} [\text{J} \cdot \text{s}]. \quad (45)$$

- Având în vedere că $\xi = \frac{\omega}{2\omega_m}(1 + \gamma^2\theta^2)^{3/2}$, condiția $\xi \simeq 1$ pentru $\omega \ll \omega_m$ este atinsă pentru valori ale lui θ semnificativ mai mari decât la $\omega \simeq \omega_m$: drept urmare, radiația cu ω mai mică este emisă sub un unghi mai mare.

- ▶ În cazul când radiația de sincrotron este emisă de un număr mare de electroni, spectrul devine influențat de funcția de distribuție a electronilor.
- ▶ Observațiile arată că razele cosmice sunt distribuite după o putere a energiei lor:

$$n(r, \mathcal{E}) \simeq n(r) \mathcal{E}^{-\gamma_s}, \quad (46)$$

unde r reprezintă distanța pe direcția de observație de la Pământ până la sursă.

- ▶ Presupunem că fiecare electron emite toată puterea radiată prin radiația de sincrotron pe frecvență critică $\omega_m = \frac{3eB}{2m^3c^4}\mathcal{E}^2$, adică $P(\nu, \mathcal{E}) = P_{\text{Larmor,sinc}}\delta(2\pi\nu - \omega_m)$.
- ▶ Energia totală detectată pe frecvență ν este:

$$I_\nu d\nu = \int_0^R dr \int_0^{\mathcal{E}_{\max}} d\mathcal{E} n(\mathcal{E}, r) P(\nu, \mathcal{E}) d\nu \sim \nu^{-\alpha}, \quad (47)$$

unde indicele spectral are valoarea

$$\alpha = (\gamma_s - 1)/2. \quad (48)$$

- ▶ În galaxia noastră, se observă un spectru al razeelor cosmice electronice corespunzând $\gamma_s \sim 2,6$. Observațiile în domeniul radio indică un spectru galactic având indicele spectral $\alpha \sim 0,8$, confirmând relația (48).